

Crecimiento y formación de fases en medios heterogéneos.

(Defensa.)

Carlos A. Echeverria ^{1,2}

Tutor: Kay Tucci^{2,3}.

¹*Laboratorio de Física Aplicada Computacional, Universidad Nacional Experimental del Táchira, San Cristóbal, Venezuela.*

²*SUMA-CeSiMo, Universidad de Los Andes, Mérida, Mérida 5251, Venezuela.*

³*Centro de Física Fundamental, Universidad de Los Andes, Mérida, Mérida 5251, Venezuela.*

¹Author for correspondence: e-mail: cecheve@ula.ve

Introducción.

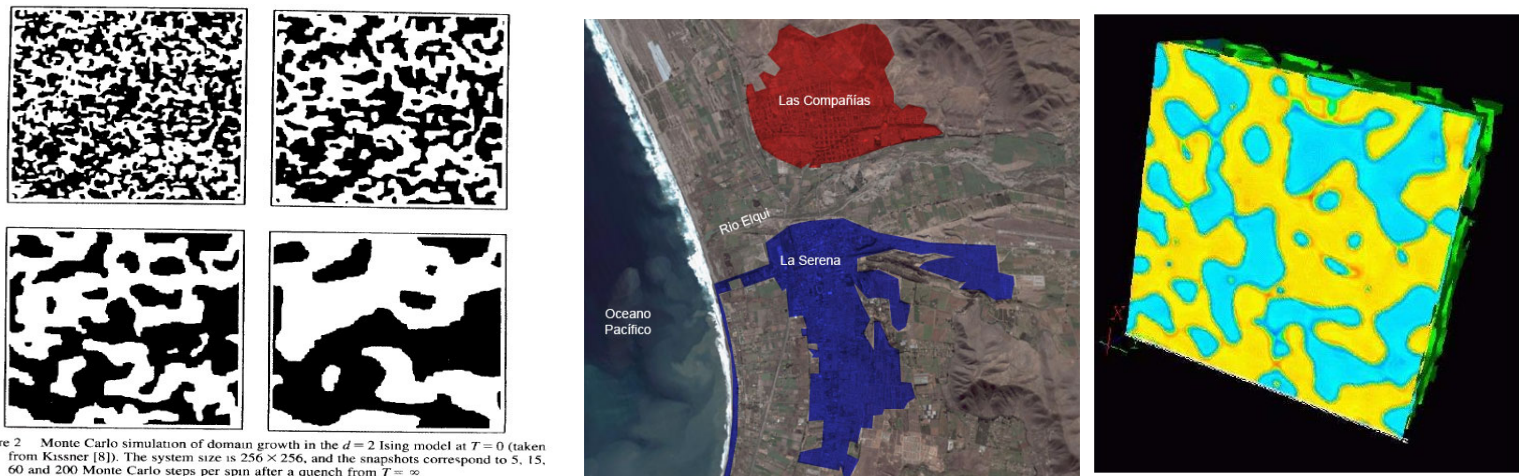


Figure 2 Monte Carlo simulation of domain growth in the $d = 2$ Ising model at $T = 0$ (taken from Kissner [8]). The system size is 256×256 , and the snapshots correspond to 5, 15, 60 and 200 Monte Carlo steps per spin after a quench from $T = \infty$.

1. Crecimiento y formación de fases en RMA sobre medios heterogéneos.
2. Descripción de sistemas sociales multiculturales en medios heterogéneos.
3. Difusión de Fluidos, estabilización de interfaces y formación de fases de fluidos binarios en medios congestionados.

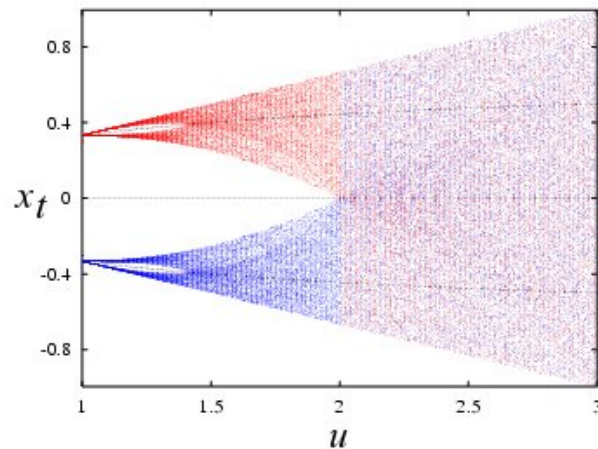
The Model of CML.

Consideramos un sistema de mapas acoplados definidos:

$$x_i(t+1) = (1 - \epsilon)f(x_i(t)) + \frac{\epsilon}{n_i} \sum_{j \in \nu_i} f(x_j(t)), \quad (1)$$

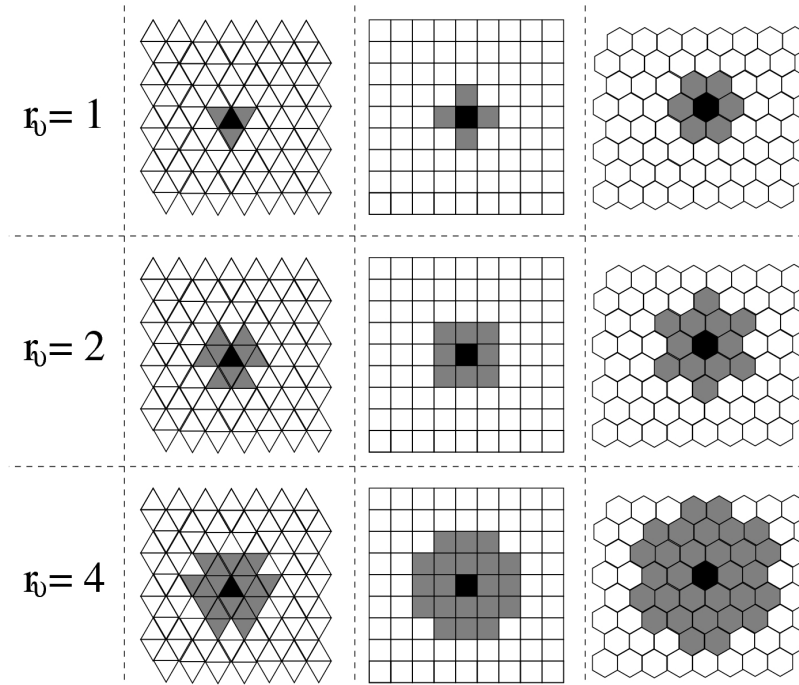
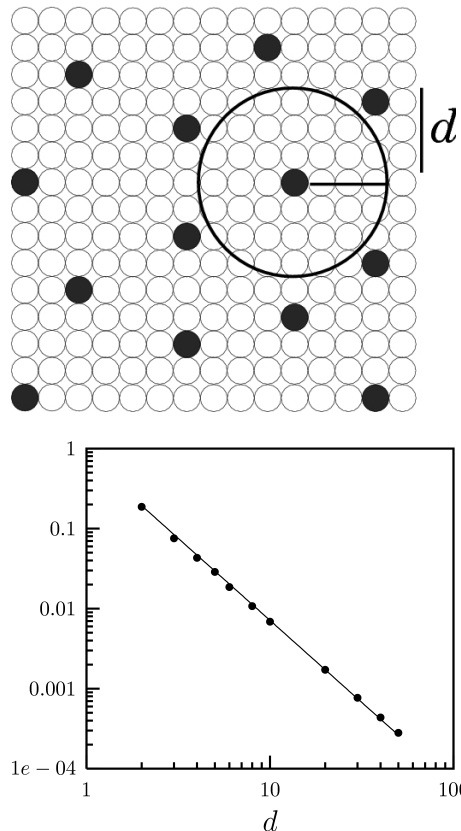
Donde ν_i es el conjunto de vecinos de cada sitio i , n_i es la cardinalidad de ν_i , ϵ es el parámetro de acoplamiento y $f(x(t))$ es la función no lineal que representa la dinámica local.

$$f(x) = \begin{cases} -2\mu/3 - \mu x & \text{if } x \in [-1, -1/3] \\ \mu x & \text{if } x \in [-1/3, 1/3] \\ 2\mu/3 - \mu x & \text{if } x \in [1/3, 1]. \end{cases} \quad (2)$$



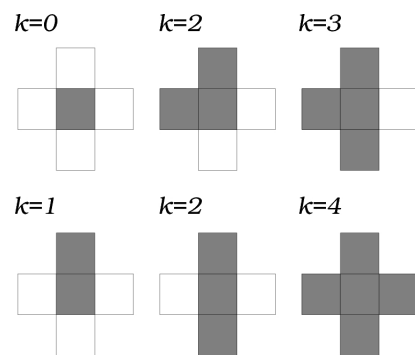
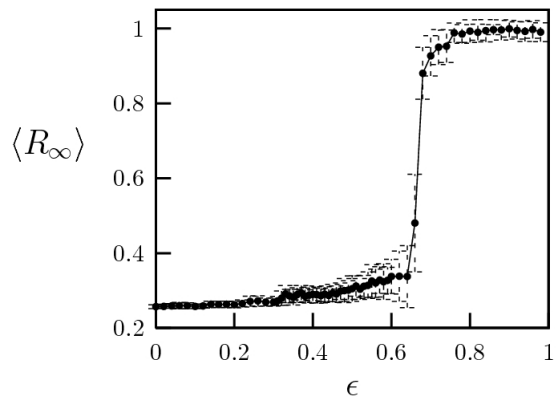
La fase es definida por $\sigma_i(t) = \text{sign}(x_i(t))$ y $\mu = 1,9$.

El sustrato.



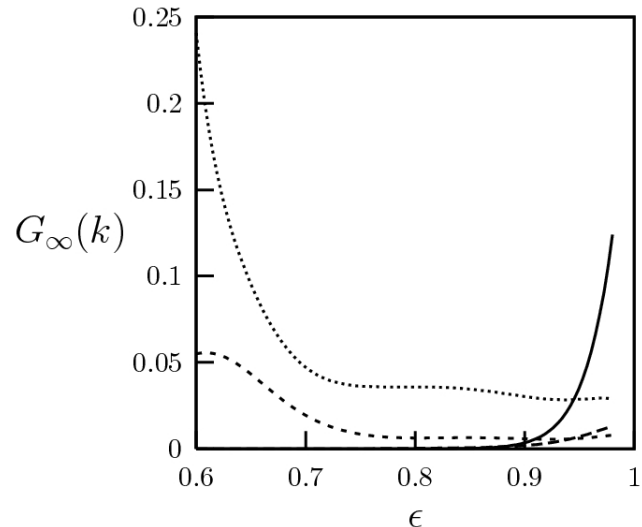
Resultados.

$$R_t = \frac{1}{N} \sum_{r=1}^{L/2} \sum_{i,j} \delta_{r_{ij},r} \delta_{\sigma_t^i, \sigma_t^j}, \quad (3)$$

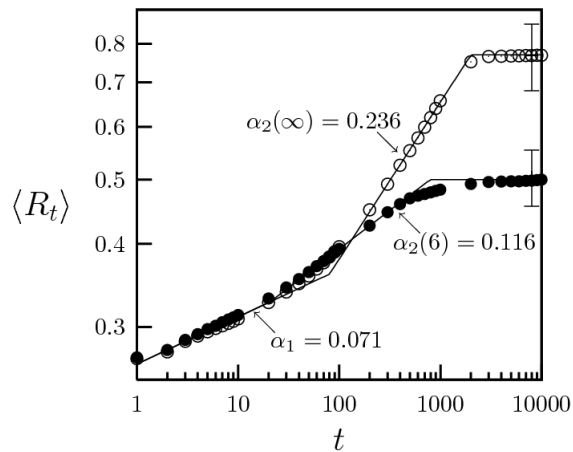
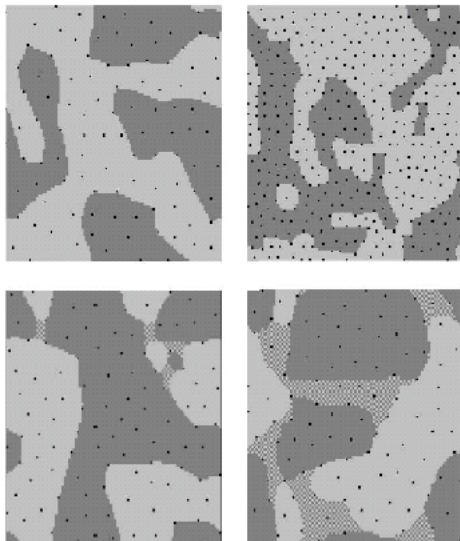


$$G_t(k) = \frac{1}{N} \sum_{i=1}^N F_t^i(k) \quad (4)$$

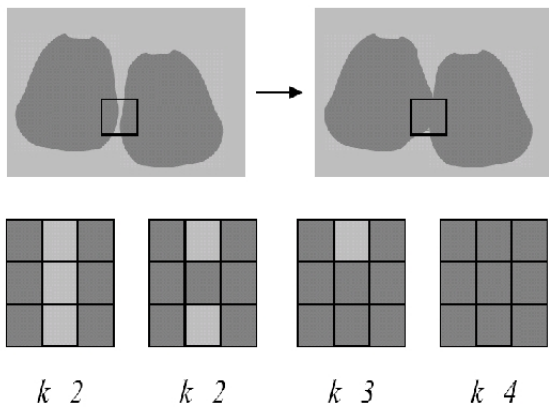
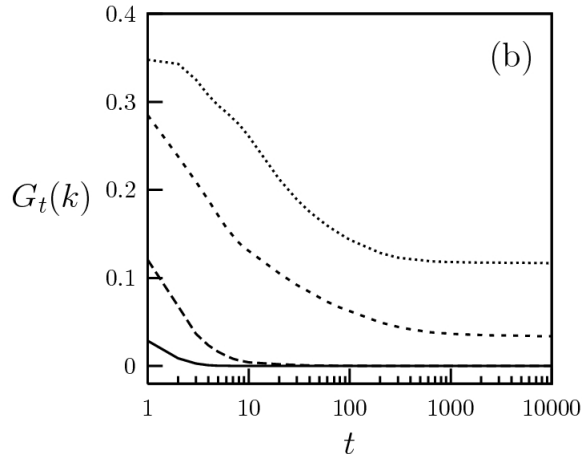
$$F_t^i(k) = \begin{cases} 1, & \text{si } \sum_{j \in N_i^v} \delta_{\sigma_t^i, \sigma_t^j} = k, \\ 0, & \text{si } \sum_{j \in N_i^v} \delta_{\sigma_t^i, \sigma_t^j} \neq k \end{cases}; \quad (5)$$

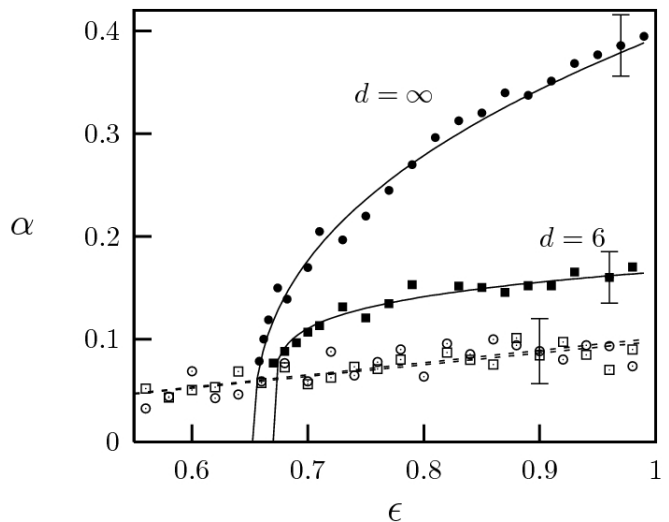


Con impurezas.



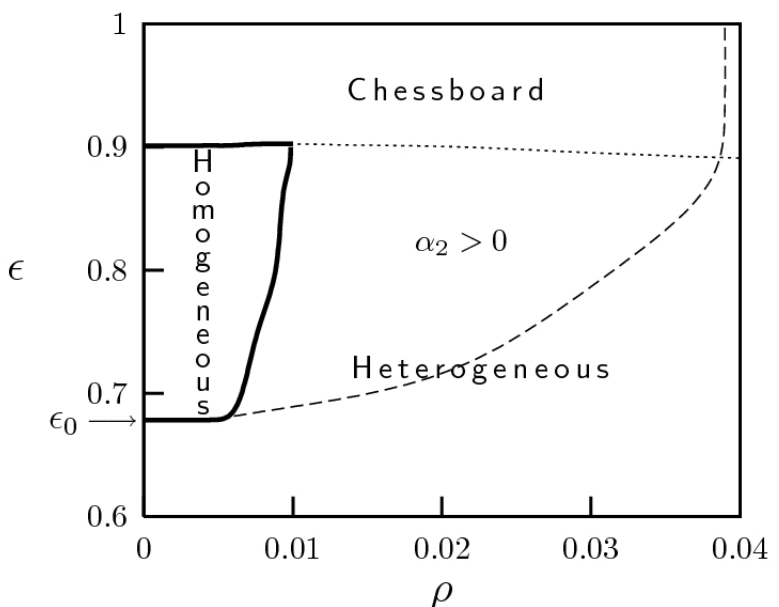
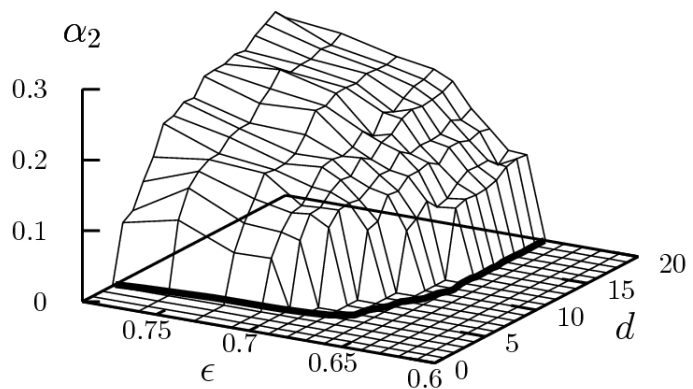
$$\langle R_t \rangle \sim t^\alpha \quad (6)$$



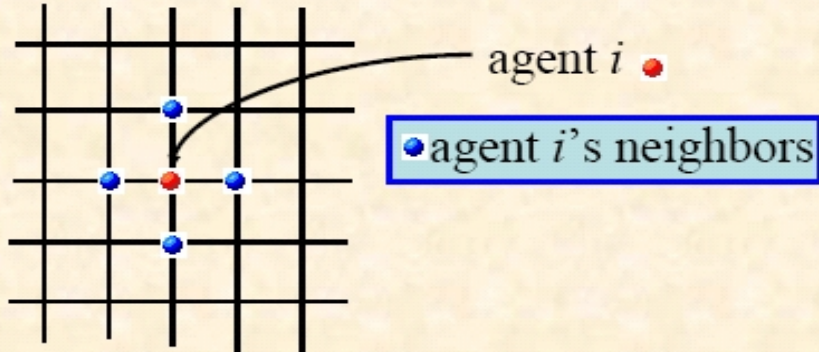


$$\alpha_2 \sim (\epsilon - \epsilon_c)^\gamma \quad (7)$$

$$\langle R_\infty \rangle \sim (d - d_c)^{\beta(\epsilon)} \quad (8)$$



Axelrod's agents based model: interaction



$$\begin{pmatrix} \sigma_{i1} \\ \sigma_{i2} \\ \vdots \\ \sigma_{iF} \end{pmatrix} \quad \begin{array}{l} F = \# \text{ Features} \\ q = \# \text{ Traits per feature} \\ \sigma_{if} \in \{0, \dots, q-1\} \end{array}$$

$F=3; q=10$

$q^F (10^3)$ equivalent cultural options.

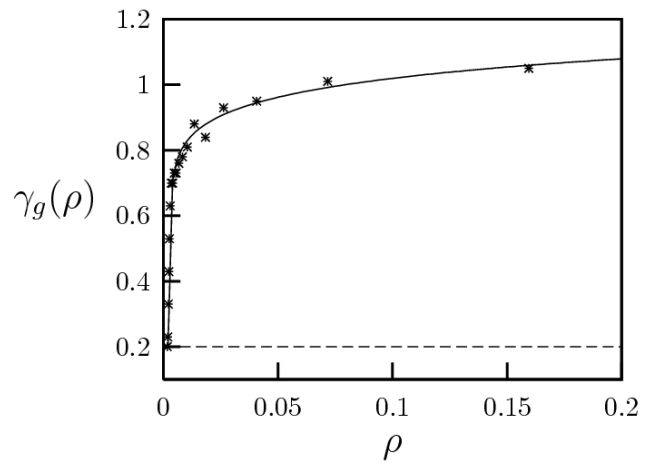
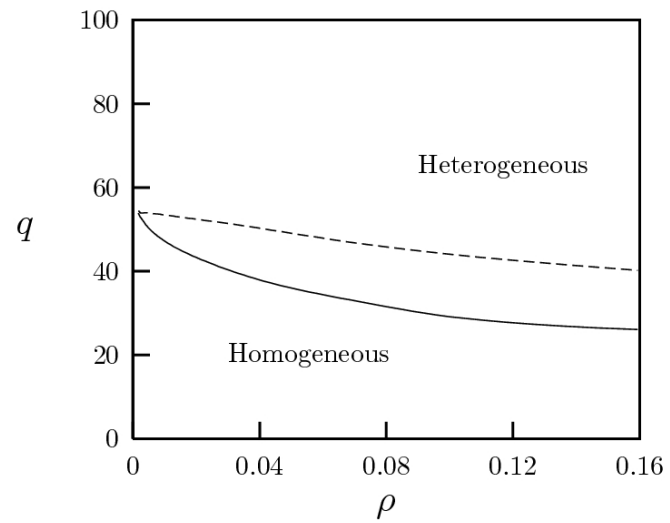
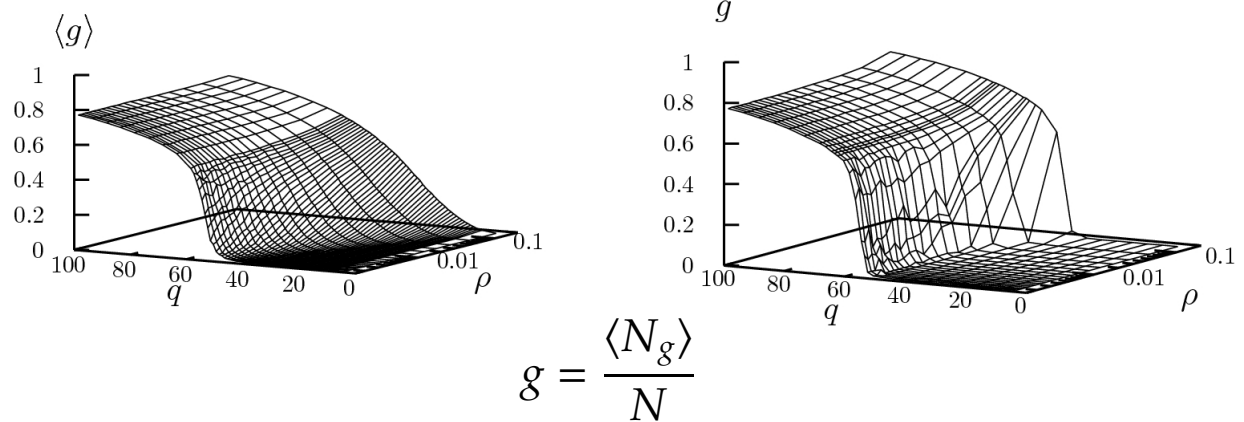
| | |
|---|---|
| 0 | 5 |
| 0 | 9 |
| 7 | 7 |

Mechanism of local convergence:

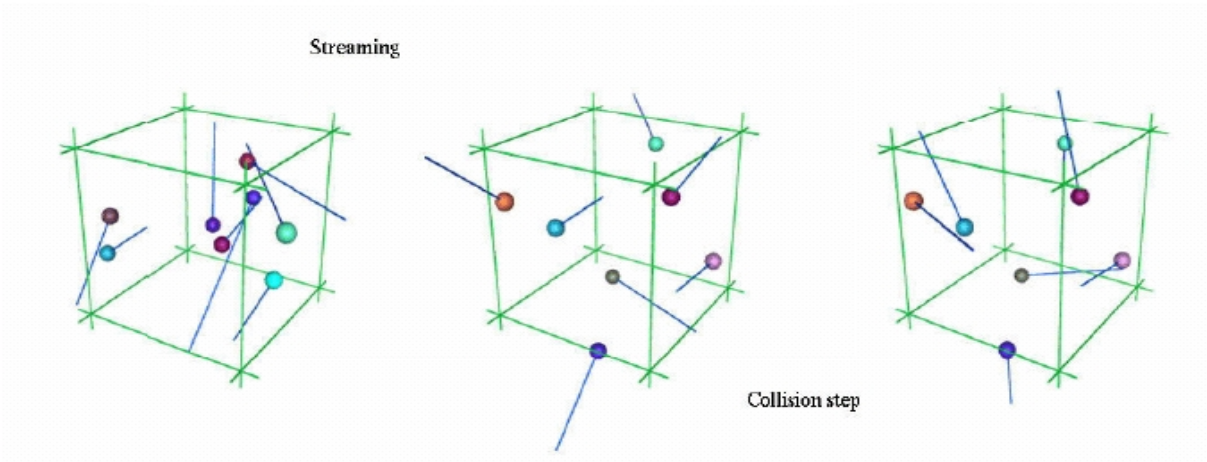
Prob to interact =

$$\frac{\text{Common features}}{F} = \frac{1}{3}$$

| | |
|---|---|
| 5 | 5 |
| 0 | 9 |
| 7 | 7 |



Dinámica de colisión de multipartículas.



Consideremos N partículas con masa m .

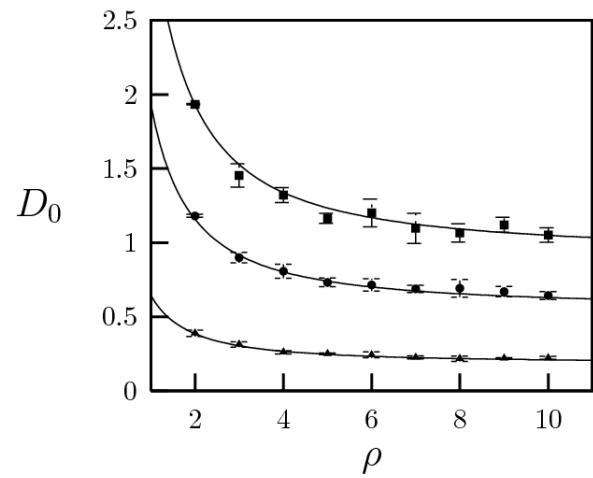
$$\mathbf{x}^s(t + \tau) = \mathbf{x}^s(t) + \mathbf{v}^s(t)\tau, \quad (10)$$

$$V_\xi = \frac{1}{n_\xi} \sum_{i|\mathbf{x} \in \nu} \mathbf{v}'_i, \quad (11)$$

$$\mathbf{v}^s = V_\xi + \widehat{\omega}_\xi(\mathbf{v}^{s'} - V_\xi). \quad (12)$$

$$D_0 = \frac{1}{2} \langle v_x v_x \rangle + \sum_{l=1}^{\infty} \langle v_x v_x(l_\tau) \rangle, \quad (13)$$

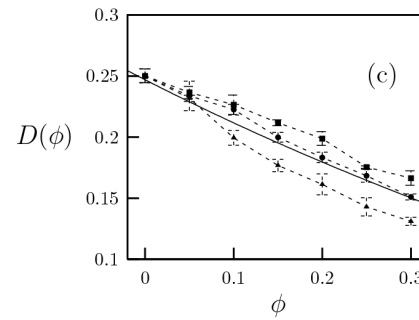
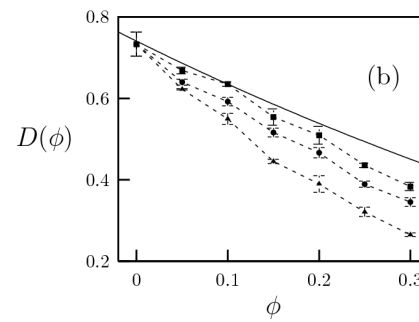
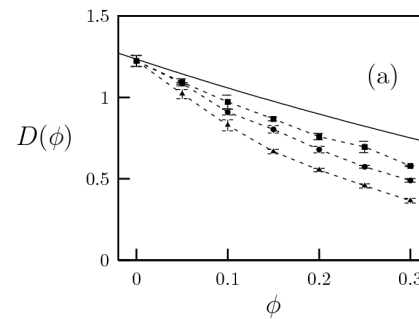
$$D_0 \approx \frac{k_b T}{2m} \left(\frac{2\rho + 1 - e^{-\rho}}{\rho - 1 + e^{-\rho}} \right) \quad (14)$$



$$\phi \equiv 4\pi N_{obs} \sigma^3 / 3V \quad (15)$$

$$\frac{\partial}{\partial t} \rho(\mathbf{r}, t) = D_0 \nabla^2 \rho(\mathbf{r}, t) - \nabla \cdot \mathbf{J}(\mathbf{r}, t), \quad (16)$$

$$D(\phi) = D_0 + \Delta D_0 = 2 D_0 \frac{1 - \phi}{2 + \phi}, \quad (17)$$



Dinámica de colisión multipartículas para dos especies

$$\Theta_s^\zeta \Theta_s^{\zeta'} = \delta_\zeta \delta_{\zeta'}; \quad \sum_\zeta \Theta_s^\zeta = 1; \quad N_\zeta = \sum_{s=1}^N \Theta_s^\zeta. \quad (18)$$

$$V_\xi^\zeta(t) = \frac{1}{n_\xi^{(\zeta)}(t)} \sum_{s|\mathbf{x} \in \Omega} \theta_s^\zeta \mathbf{v}_s(t); \quad (19)$$

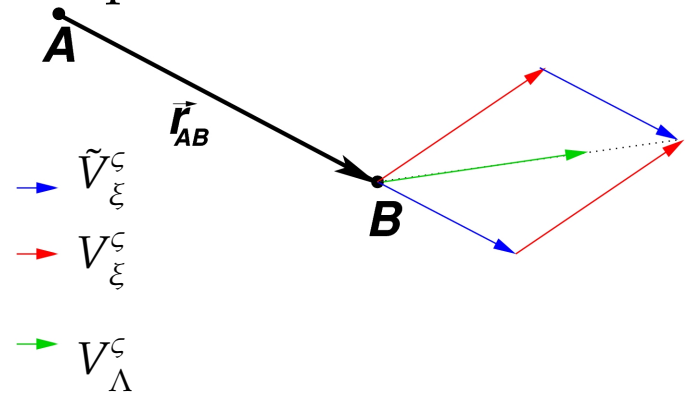
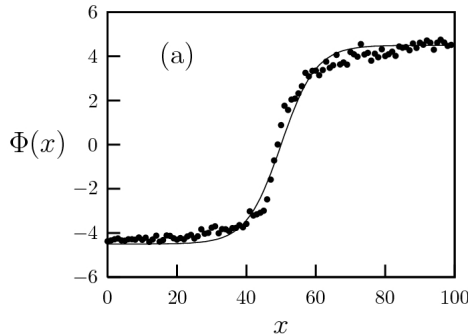
$$V_\xi(t) = \frac{\sum_\zeta n_\xi^{(\zeta)} m_\zeta V_\xi^{(\zeta)}(t)}{\sum_\zeta n_\xi^{(\zeta)} m_\zeta}. \quad (20)$$

$$\mathbf{v}^{s''} = V_\xi + \widehat{\omega}_\xi (\mathbf{v}^s - V_\xi) \quad (21)$$

$$\mathbf{v}^{s*} = \sum_\zeta \Theta_s^\zeta \left(V_\xi''^{(\zeta)} + \widehat{\omega}_\xi^\zeta (\mathbf{v}^{s''} - V_\xi''^{(\zeta)}) \right), \quad (22)$$

$$\mathbf{v}^{s*} = V_\xi + \widehat{\omega}_\xi (\Theta_\xi^\zeta V_\xi^{(\zeta)} - V_\xi) + \sum_\zeta \Theta_s^\zeta \left(\widehat{\omega}_\xi^\zeta \widehat{\omega}_\xi (\mathbf{v}^s - V_\xi''^{(\zeta)}) \right), \quad (23)$$

Inclusión de la repulsión para dos especies.



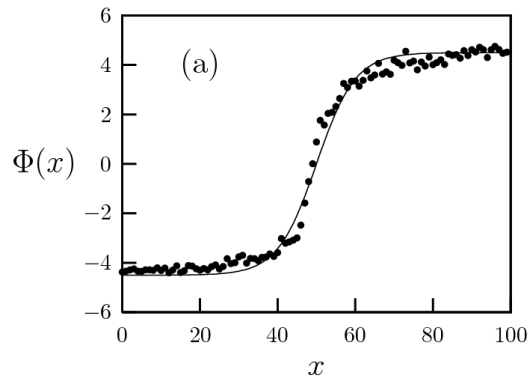
$$\Phi(x) = \langle n^\zeta(x) - n^{\zeta'}(x) \rangle_{\xi_x} \quad (28)$$

$$r_{\zeta\zeta'}^c = \begin{cases} 2,5 r_\zeta & \text{si } \zeta = \zeta' \\ 2^{1/6} r_\zeta & \text{si } \zeta' \neq \zeta'. \end{cases} \quad (24)$$

$$V_\Lambda^\zeta = \kappa n_\xi^{(\zeta')} m_\zeta \widehat{r}_{AB} + V_\xi^\zeta \quad (25)$$

$$\tilde{V}_\xi^\zeta = \frac{V_\Lambda^\zeta}{|V_\Lambda^\zeta|} |V_\xi^\zeta| \quad (26)$$

$$\mathbf{v}^{s*} = \sum_{\zeta} \Theta_s^\zeta \left(\tilde{V}_\xi^\zeta + \widehat{\omega}_\xi^\zeta (\mathbf{v}^s - V_\xi^\zeta) \right), \quad (27)$$

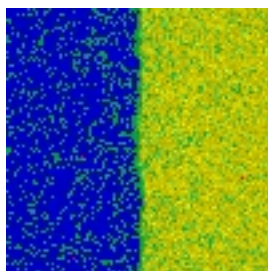
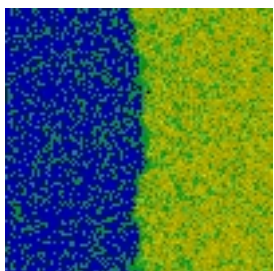
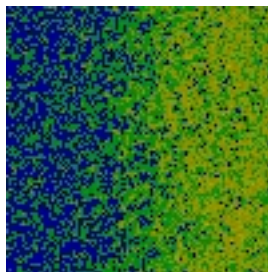
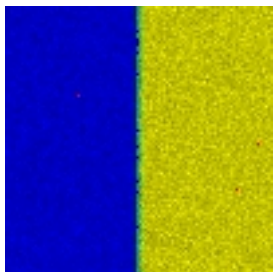


$$\Phi(x) = \Phi_{eq} \tanh \frac{x}{\zeta}, \quad (29)$$

Para el modelos de Ising:

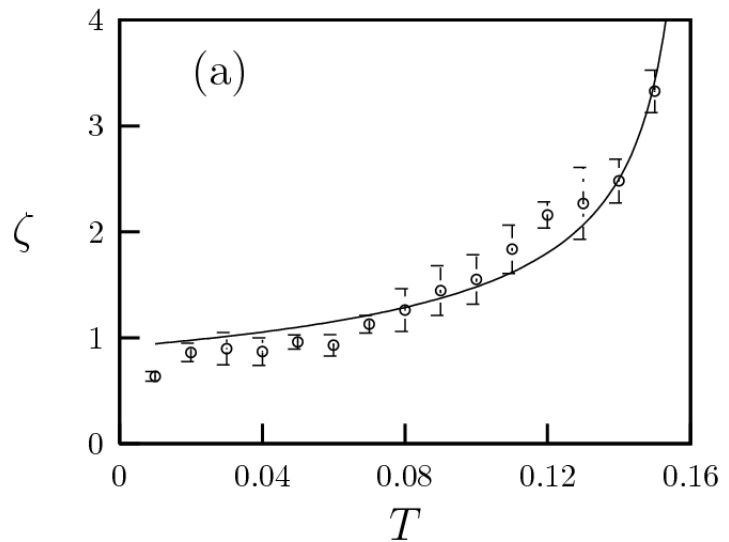
$$F_{GL}[\Phi(\mathbf{r})] = \int d\mathbf{r} \left[-\frac{a_2}{2} \Phi(\mathbf{r})^2 + \frac{a_4}{4} \Phi(\mathbf{r})^4 + \frac{K}{2} |\nabla \Phi(\mathbf{r})|^2 \right] \quad (30)$$

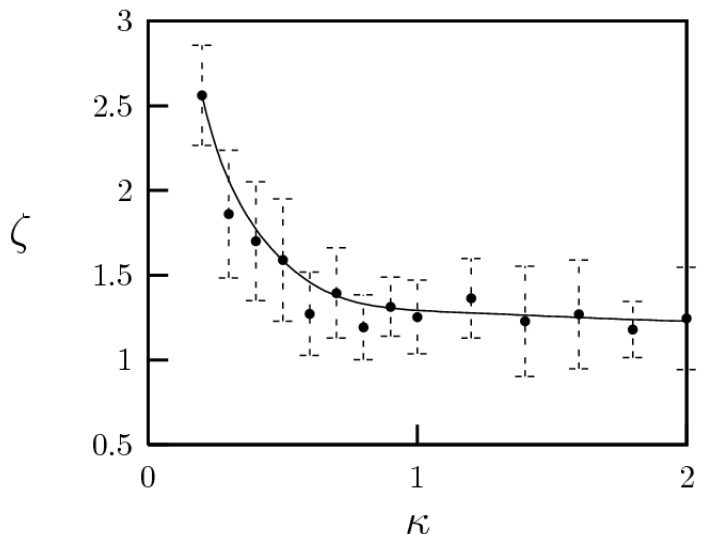
$$\Phi(x) = \sqrt{\frac{a_2}{a_4}} \tanh \frac{x}{\zeta}, \quad (31)$$



$$a_2 = \frac{S - 4T}{2a^3}, \quad a_4 = \frac{4T}{3a^3}, \quad K = \frac{S}{4a}, \quad (32)$$

$$\zeta = \sqrt{\frac{2K}{a_2}} \sim \frac{1}{(T_c - T)^{1/2}} \quad (33)$$





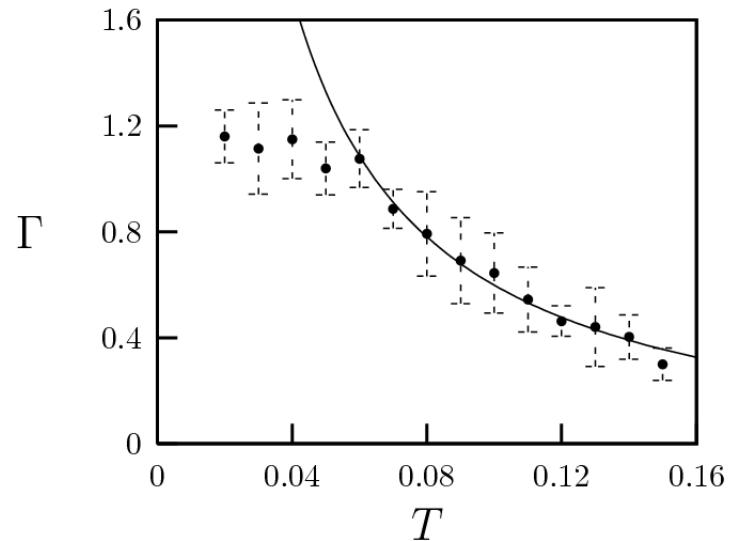
$$\Gamma = \int dx \left(f_o(\Phi(x)) - f_o(\Phi_{eq}) + \frac{K}{2} \left(\frac{\partial \Phi(x)}{\partial x} \right)^2 \right), \quad (34)$$

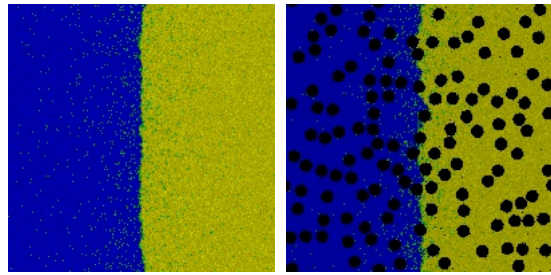
$$f_o(\Phi(x)) - f_o(\Phi_{eq}) = \frac{K}{2} \left(\frac{\partial \Phi(x)}{\partial x} \right)^2, \quad (35)$$

$$\Gamma = K \int dz \left(\frac{\partial \Phi(x)}{\partial x} \right)^2. \quad (36)$$

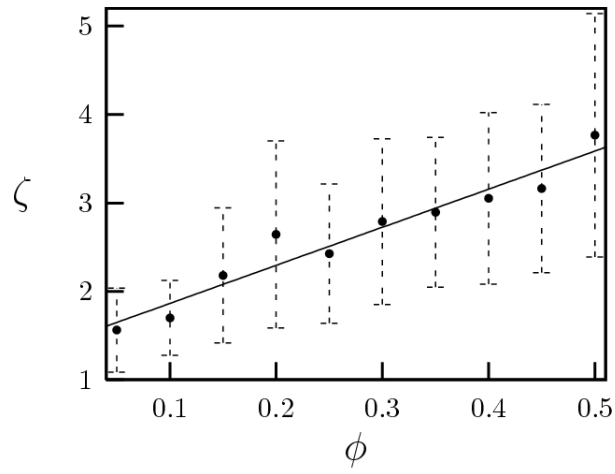
$$\Gamma = \frac{4 K \Phi_{eq}^2}{3 \zeta}, \quad (37)$$

$$\Gamma = \frac{K(T_c - T)}{2 T a \zeta} \sim \frac{(T_c - T)^{3/2}}{T}. \quad (38)$$



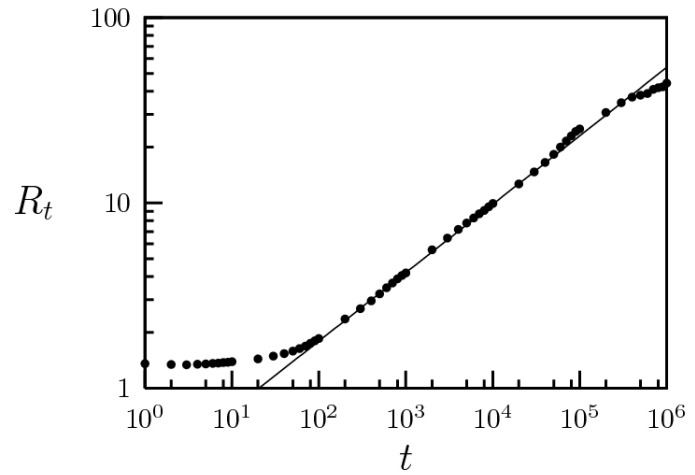


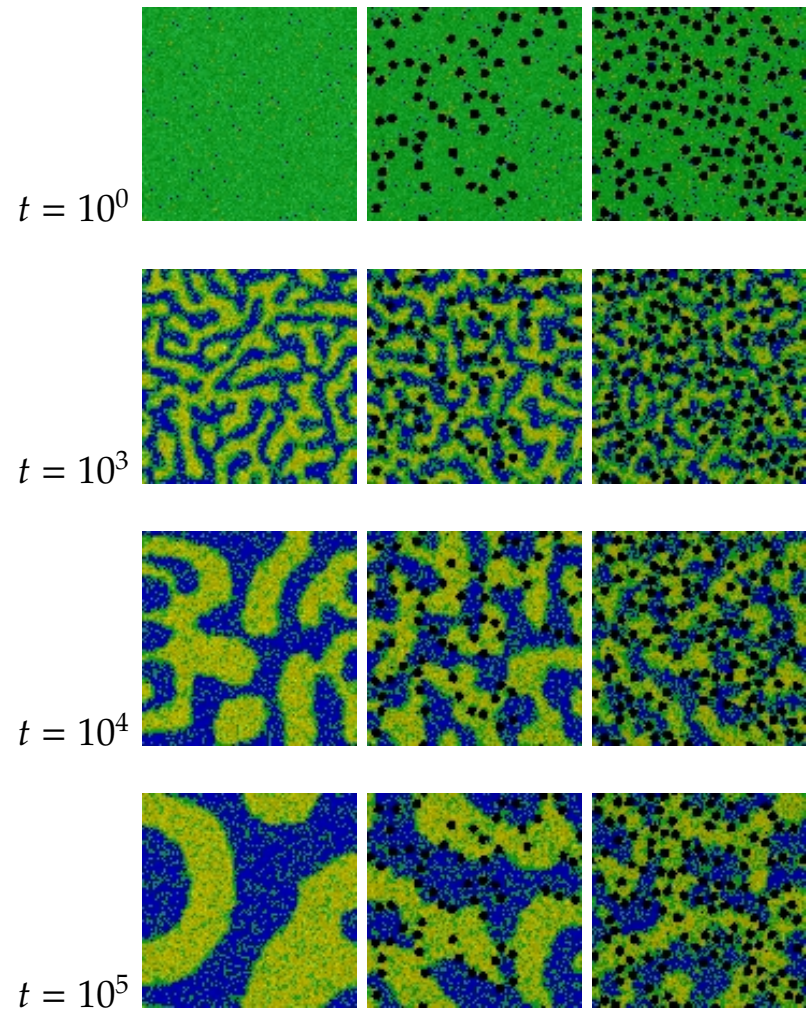
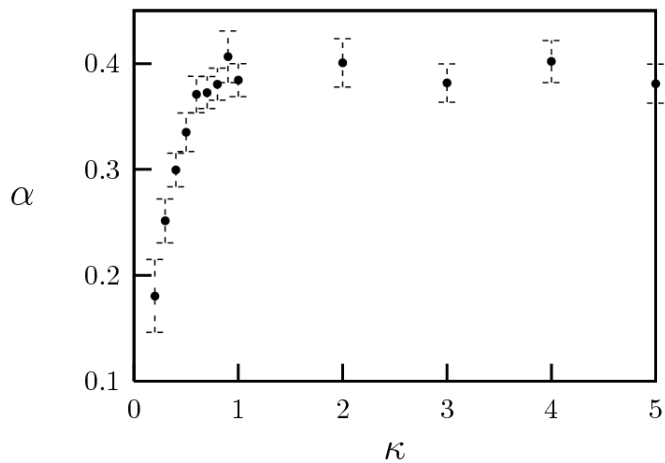
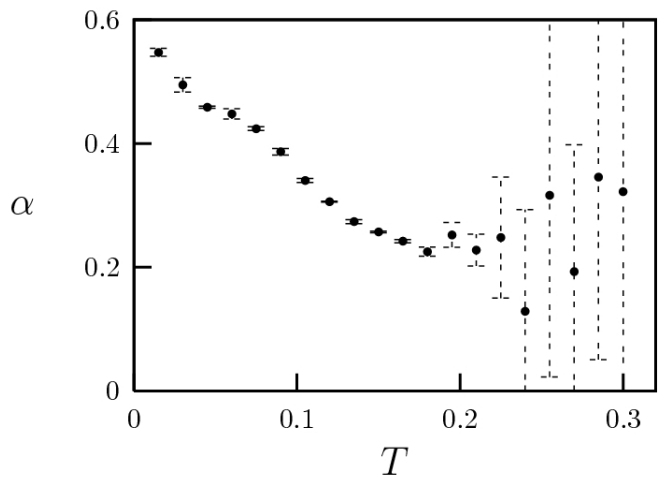
$$\Phi(x) = \sqrt{\frac{a_2}{a_4}} \tanh \frac{x}{(\zeta(1-\phi))}, \quad (39)$$

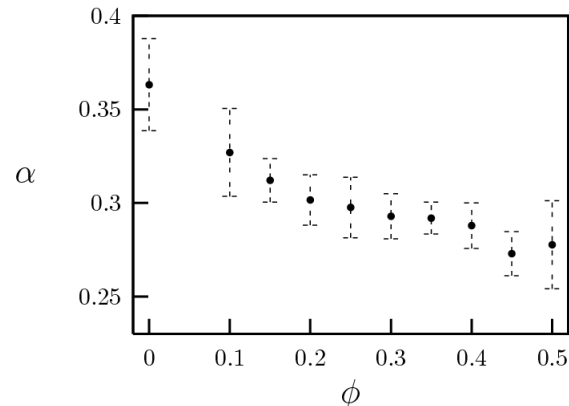
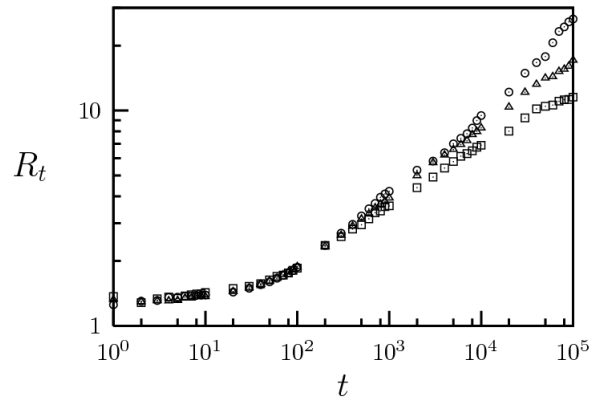


$$\langle \Phi(\mathbf{r}_{\xi'}, t) \Phi(\mathbf{r}_{\xi}, t) \rangle_{\xi, \xi'} = C [R_t, t] = 0 \quad (40)$$

$$R_t \sim t^{\alpha} \quad (41)$$







Conclusiones:

- Se mostró que la velocidad con la cual los dominios de fase crecen, es más baja cuando las impurezas están presentes en el sistema.
- El tamaño promedio de los dominios resultantes en el estado inhomogéneo de el sistema decrece cuando la densidad de impurezas aumenta.
- La topología del medio puede jugar un rol decisivo en el determinación del comportamiento colectivo emergente.
- Las inhomogeneidades espaciales también pueden ser empleados como un mecanismo de selección para modular el tamaño de los patrones en

sistemas espaciotemporales.

- Las impurezas tienen un efecto sobre las propiedades críticas, de pasar de un estado heterogéneo a uno homogéneo.
- Las tres técnicas de modelado mostraron ser eficientes para el estudio del crecimiento y formación de fases en medios heterogéneos.